

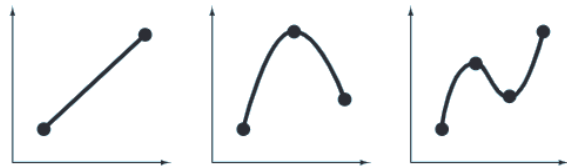
Marco Teórico

Interpolación.

Con frecuencia se tiene que estimar valores intermedios entre datos definidos por puntos. El método más común es la interpolación.

En análisis numérico, se denomina interpolación a la obtención de nuevos puntos partiendo del conocimiento de un conjunto de puntos [1].

Aunque hay uno y sólo un polinomio de a lo más de n -ésimo grado que se ajusta a $n + 1$ puntos, existe una gran variedad de formas de interpolar estos puntos.



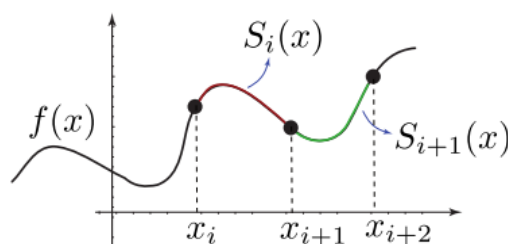
Por ejemplo, para ocho puntos se puede obtener un polinomio de séptimo grado. Podría agrupar todas las curvas sugeridas por los puntos, no obstante, hay casos donde estas funciones llevarían a resultados erróneos (redondeo, puntos lejanos, etc). Un procedimiento alternativo consiste en colocar polinomios de grado inferior en subconjuntos de los datos. Tales polinomios conectores se denominan trazadores o splines.

Trazadores cúbicos.

Las curvas de tercer grado empleadas para unir cada par de puntos se llaman trazadores cúbicos. Se construyen de tal forma que las conexiones adyacentes resulten suaves [2].

Se interpola $f(x)$, de la cual se dan un número n de puntos $(x, f(x))$, por los que tendrá que pasar el trazador ($S(x)$). Definiremos cada trazador por cada par de puntos adyacentes ($n - 1$ de trazadores). Tendrán la forma de [3]:

$$S_{n-1}(x) = a_{n-1} + b_{n-1}(x - x_{n-1}) + c_{n-1}(x - x_{n-1})^2 + d_{n-1}(x - x_{n-1})^3$$



Cuatro incógnitas por cada intervalo ($a_{n-1}, b_{n-1}, c_{n-1}$ y d_{n-1}). Las condiciones por las cuales se forman las ecuaciones para encontrarlas son:

- ❖ $S_{n-1}(x_{n-2}) = f(x_{n-2})$ y $S_{n-1}(x_{n-1}) = f(x_{n-1})$.
- ❖ $S_{n-1}'(x_{n-1}) = S_n'(x_{n-1})$ y $S_{n-1}''(x_{n-1}) = S_n''(x_{n-1})$

Además, pudiendo tomar dos caminos para poder terminar de determinar las ecuaciones:

- ❖ **Natural:** $S_1''(x_0) = S_{n-1}''(x_n) = 0$.
- ❖ **Sujeto:** $S_1'(x_0) = f'(x_0)$ y $S_{n-1}'(x_n) = f'(x_n)$.

La mayor diferencia entre esos dos tipos de splines cúbicos radica en que los naturales se reduce la oscilación en los extremos, se utiliza cuando no hay información adicional en los extremos.

El uso de $x - x_{n-1}$ en la forma de los trazadores se debe a facilitar el cálculo de los coeficientes (variable trasladada respecto a un punto base). Representa la separación entre puntos consecutivos.

Escoliosis idiopática.

La escoliosis idiopática es el encorvamiento lateral de la columna vertebral. Forma más frecuente de escoliosis y se observa en el 2 – 4% de los niños entre 10 – 16 años [4].

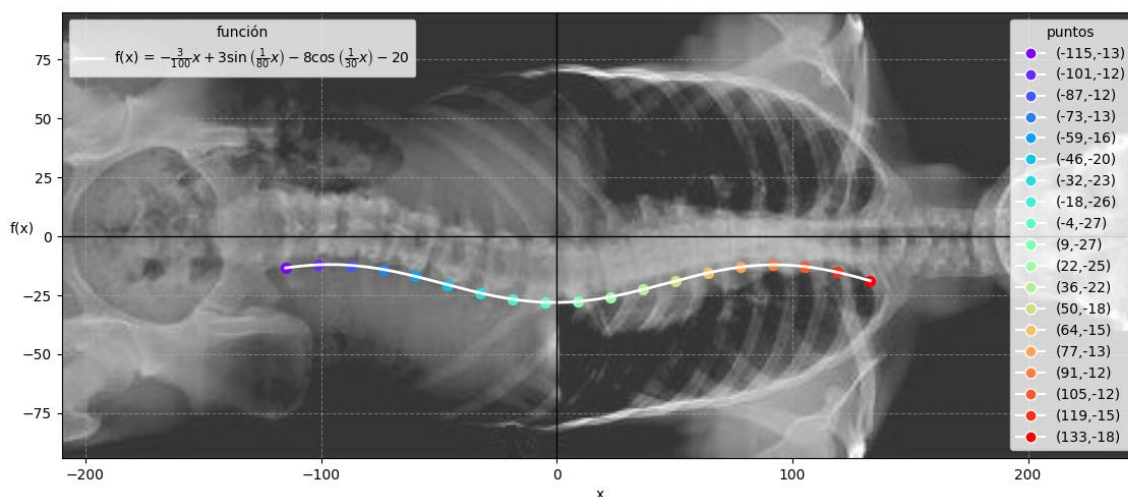
La mayoría de las curvas son convexas a la derecha en la región torácica y a la izquierda en la región lumbar.

El examen radiográfico debe incluir proyecciones anteroposterior y lateral de la columna en bipedestación. La curvatura se cuantifica en grados (el método Cobb).



Examen

Función.



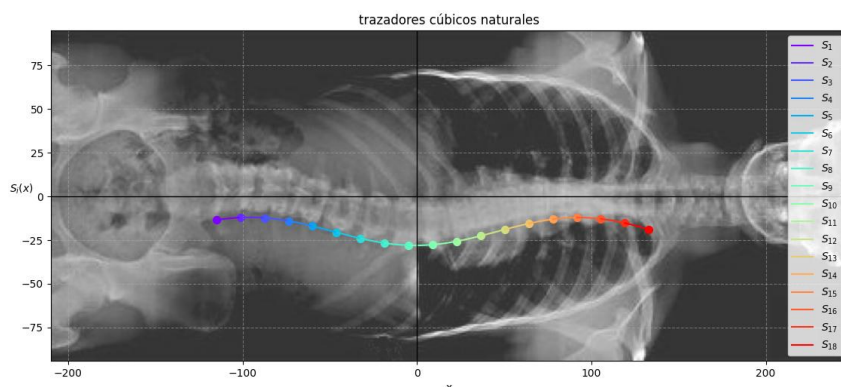
La función del contorno de columna se encontró a prueba y error. Elegimos 19 puntos equidistantes desde T1 hasta S1 para interpolarlos.

Trazadores cúbicos naturales.

```

5_1(x) = -13.362292854835303+(0.11918496089602676)*(x-133.0)+(0.0)*(x-133.0)^2+(-0.00012213681420160844)*(x-133.0)^3
5_2(x) = -12.03962513741505+(0.049630307001066395)*(x-115.0)+(-0.005048321653666479)*(x-115.0)^2+(2.620301901160081e-05)*(x-115.0)^3
5_3(x) = -12.245607078817377+(-0.07455696670284056)*(x-101.22222222222223)+(-0.003965263534520312)*(x-101.22222222222223)^2+(1.4273572366
39149e-05)*(x-101.22222222222223)^3
5_4(x) = -13.988218687164279+(-0.17569337118348788)*(x-87.44444444444444)+(-0.0033752892100427966)*(x-87.44444444444444)^2+(4.07644949450
0951e-05)*(x-87.44444444444444)^3
5_5(x) = -16.942989164255472+(-0.24548671555376098)*(x-73.66666666666666)+(-0.0016903567523157378)*(x-73.66666666666666)^2+(4.75786691632
4787e-05)*(x-73.66666666666666)^3
5_6(x) = -20.521689119426565+(-0.2649702639489021)*(x-59.88888888888889)+(0.0002762282397651732)*(x-59.88888888888889)^2+(4.73732986314
1924e-05)*(x-59.88888888888889)^3
5_7(x) = -23.996054955148484+(-0.23030042505475426)*(x-46.11111111111111)+(0.0022343245831971696)*(x-46.11111111111111)^2+(3.6399295762
46011e-05)*(x-46.11111111111111)^3
5_8(x) = -26.650851176335028+(-0.14808364499763266)*(x-32.33333333333333)+(0.0037388288080455216)*(x-32.33333333333333)^2+(1.793090308750
326e-05)*(x-32.33333333333333)^3
5_9(x) = -27.93448708344798+(-0.03484682281025056)*(x-18.555555555555554)+(0.004479972802328989)*(x-18.555555555555554)^2+(-4.48309033054
6616e-06)*(x-18.555555555555554)^3
5_10(x) = -27.575903376694963+(0.08604827970864876)*(x-4.777777777777777)+(0.004294671735333063)*(x-4.777777777777777)^2+(-2.6124438098
870857e-05)*(x-4.777777777777777)^3
5_11(x) = -25.643429722167973+(0.18951296159307687)*(x-9.0)+(0.003214061627246401)*(x-9.0)^2+(-4.253320153917936e-05)*(x-9.0)^3
5_12(x) = -22.533335380858922+(0.2538783891414066)*(x-22.777777777777777)+(0.0014568226302936512)*(x-22.777777777777777)^2+(-5.02621922986407
16e-05)*(x-22.777777777777777)^3
5_13(x) = -18.896366487912914+(0.26539855833231685)*(x-36.555555555555557)+(-0.0006206813180501644)*(x-36.555555555555557)^2+(-4.782128752012
982e-05)*(x-36.555555555555557)^3
5_14(x) = -15.476657845668806+(0.2210620021271747)*(x-50.33333333333334)+(-0.0025972945355488626)*(x-50.33333333333334)^2+(-3.5237837575417
58e-05)*(x-50.33333333333334)^3
5_15(x) = -13.016112666617285+(0.12942481231206437)*(x-64.11111111111111)+(-0.004053791821999458)*(x-64.11111111111111)^2+(-1.6817007421466
424e-05)*(x-64.11111111111111)^3
5_16(x) = -12.046429295686071+(0.00814335224983978)*(x-77.88888888888891)+(-0.00474889479542007)*(x-77.88888888888891)^2+(1.006294588647165
6e-05)*(x-77.88888888888891)^3
5_17(x) = -12.809382619738432+(-0.11698442078135068)*(x-91.66666666666669)+(-0.00432959698779242)*(x-91.66666666666669)^2+(1.5919448725632
4e-05)*(x-91.66666666666669)^3
5_18(x) = -15.202045739459546+(-0.22731570123640368)*(x-105.44444444444446)+(-0.003674955818119796)*(x-105.44444444444446)^2+(8.8918221406
1235e-05)*(x-105.44444444444446)^3

```



Resultados del algoritmo para trazadores cúbicos naturales.

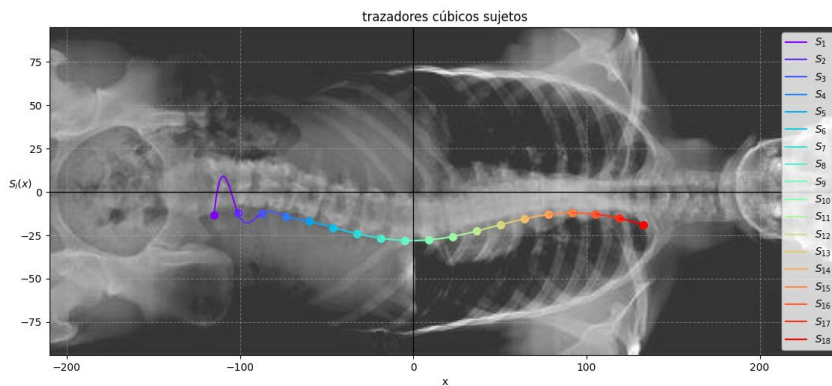
Trazadores cúbicos sujetos.

trazadores cúbicos sujetos

```

5_1(x) = -13.36229285483503+(9.413616107607359)*(x-133.0)+(-1.168434215822669)*(x-133.0)^2+(0.03572097335583486)*(x-133.0)^3
5_2(x) = -12.03962513741505+(-2.440805012864832)*(x-115.0)+(0.30803268288517105)*(x-115.0)^2+(-0.009577929485299335)*(x-115.0)^3
5_3(x) = -12.245607078817377+(0.5927532660494145)*(x-101.22222222222223)+(-0.0878550658672017)*(x-101.22222222222223)^2+(0.002587693099573713)*(x-101.22222222222223)^3
5_4(x) = -13.988218687164279+(-0.35449858232660936)*(x-87.44444444444444)+(0.01910291558184517)*(x-87.44444444444444)^2+(-0.0006487811895733392)*(x-87.44444444444444)^3
5_5(x) = -16.942389164255472+(-0.1975760037335299)*(x-73.66666666666666)+(-0.007713373587186171)*(x-73.66666666666666)^2+(0.0002323418900293175)*(x-73.66666666666666)^3
5_6(x) = -20.52168911942655+(-0.277807900086705)*(x-59.88888888888889)+(0.0018900907873589464)*(x-59.88888888888889)^2+(-2.1338603145106307e-06)*(x-59.88888888888889)^3
5_7(x) = -23.996054955148484+(-0.2269405923237738)*(x-46.11111111111111)+(0.001801891227692507)*(x-46.11111111111111)^2+(4.9664720680110204e-05)*(x-46.11111111111111)^3
5_8(x) = -26.650851176335028+(-0.14900533978375152)*(x-32.33333333333333)+(0.0038546996824703967)*(x-32.33333333333333)^2+(1.4376362362832847e-05)*(x-32.33333333333333)^3
5_9(x) = -27.93448705344798+(-0.03459987639675554)*(x-18.555555555555554)+(0.00448922660134154)*(x-18.555555555555554)^2+(-3.530352349515136e-06)*(x-18.555555555555554)^3
5_10(x) = -27.57598376694963+(-0.0859821888407876)*(x-4.777777777777777)+(0.0043030014296875285)*(x-4.777777777777777)^2+(-2.6380849298326543e-05)*(x-4.777777777777777)^3
5_11(x) = -25.643429722167973+(-0.18953037865102654)*(x-9.0)+(0.003212592992023365)*(x-9.0)^2+(-4.246029472238795e-05)*(x-9.0)^3
5_12(x) = -22.533335380885822+(-0.2538748117746907)*(x-22.777777777777777)+(0.0014575674768313271)*(x-22.777777777777777)^2+(-5.0297408366350646e-05)*(x-22.777777777777777)^3
5_13(x) = -18.890366407912914+(-0.2653954507301172)*(x-36.555555555555557)+(-0.006213920689778318)*(x-36.555555555555557)^2+(-4.7753330066081564e-05)*(x-36.555555555555557)^3
5_14(x) = -15.476657845668806+(-0.2210780098999107)*(x-50.33333333333334)+(-0.002595196378375869)*(x-50.33333333333334)^2+(-3.5474451323900628e-05)*(x-50.33333333333334)^3
5_15(x) = -13.016112666617285+(-0.12936388882332006)*(x-64.11111111111111)+(-0.004061473699763764)*(x-64.11111111111111)^2+(-1.593850988158257e-05)*(x-64.11111111111111)^3
5_16(x) = -12.04642929560671+(-0.00837103843208109)*(x-77.88888888888889)+(-0.004720265441535843)*(x-77.88888888888889)^2+(-6.785569475419231e-06)*(x-77.88888888888889)^3
5_17(x) = -12.809382619738432+(-0.1178342420215715)*(x-91.66666666666669)+(-0.004439795236551848)*(x-91.66666666666669)^2+(2.8150456829958217e-05)*(x-91.66666666666669)^3
5_18(x) = -15.20204573949546+(-0.22414410245776173)*(x-105.44444444444446)+(-0.003276243020913576)*(x-105.44444444444446)^2+(4.32635653998728e-05)*(x-105.44444444444446)^3

```



Resultados del algoritmo para trazadores cúbicos sujetos.

Código.

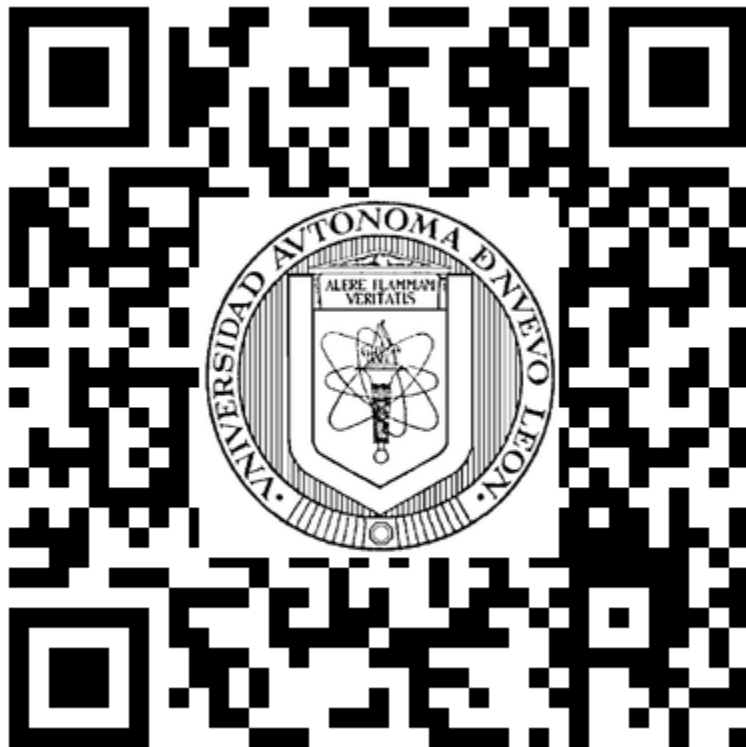
Se utilizó el lenguaje de programación Python 3.11.1, además de las librerías numpy, matplotlib, sympy y os. Se realizaron dos scripts, *spine_rx.py* y *splines.py* los cuales hacen:



- ❖ **spine_rx**: se encarga de definir y graficar una función matemática en un intervalo dado. Utiliza sympy para definir una función $f(x)$ que involucra senos y cosenos, luego la convierte en una función evaluable con numpy. Se generan puntos equidistantes dentro de un rango y se grafican sobre la columna. La función se convierte a formato *LaTeX* con fracciones racionales para mejorar la legibilidad. Finalmente, la función y los puntos se grafican con matplotlib, mostrando los puntos con diferentes colores y agregando una leyenda con las coordenadas de cada uno.

- ❖ **splines:** implementa y compara dos tipos de interpolación con trazadores cúbicos: naturales y sujetos. Los trazadores cúbicos naturales imponen la condición de que la segunda derivada en los extremos sea cero, mientras que los sujetos utilizan la derivada real en los extremos para ajustar la curva. Se definen funciones para calcular los coeficientes a , b , c , y d de los polinomios cúbicos que interpolan los puntos dados. Luego, una función `splines` grafica los trazadores generados sobre la misma imagen de fondo. Un bucle interactivo permite al usuario elegir entre los trazadores naturales o sujetos, mostrando las ecuaciones de cada tramo del spline y su respectiva gráfica.

Códigos: <https://github.com/juan-torresf/metnum.mc>.



spine_rx.py

```
1 import re, numpy as np
2 from fractions import Fraction
3 import matplotlib.pyplot as plt
4 import matplotlib.image as mpimg
5 from matplotlib.lines import Line2D
6 from sympy import symbols, sin, cos, lambdify, diff, latex, sympify, simplify
7
8 _, ax = plt.subplots()
9 ax.imshow(mpimg.imread(r'spine.jpg'),
10          extent=[-210, 247, -94, 95], alpha=.8)
11
12 x = symbols('x')
13 f = 3*(sin((1/80)*x)-(1/100)*x)-4*(2*cos((1/30)*x)+5)
14 fx = lambdify(x, f, 'numpy')
15 dfx = lambdify(x, diff(f, x), 'numpy')
16
17 points = [(x, fx(x)) for x in np.linspace(-115, 133, 19)]
18
19 def frac_latex(match):
20     if Fraction(float(match.group(1))).limit_denominator(10000).denominator==1:
21         return str(Fraction(float(match.group(1))).limit_denominator(10000).numerator)
22     else:
23         return f'\\frac{{{Fraction(float(match.group(1))).limit_denominator(10000).numerator}}}{\n'
24             f'{{{Fraction(float(match.group(1))).limit_denominator(10000).denominator}}}}'
25
26 f = re.sub(r'\b0\.\d+\b', frac_latex, latex(f, mode='inline', fold_short_frac=False))
27
28 plt.plot(np.linspace(-115, 133, 400), fx(np.linspace(-115, 133, 400)), linestyle='solid', linewidth=2,
29          label=f'r'f'f(x) = {f}', color='white')
30
31 for (x_, y_), color in zip(points, plt.cm.rainbow(np.linspace(0, 1, len(points)))):
32     ax.scatter(x_, y_, color=color, s=50)
33
34 ax.axhline(y=0, color='black', linewidth=1)
35 ax.axvline(x=0, color='black', linewidth=1)
36 ax.set_xlim(-210, 247)
37 ax.set_ylim(-94, 95)
38 ax.set_xlabel('x')
39 ax.set_ylabel('f(x)', rotation=0, labelpad=0)
40 ax.grid(True, linestyle='--', alpha=.5)
41
42 flegend = ax.legend(title='función', loc='upper left')
43 ax.legend(handles=[Line2D([0], [0], marker='o', color='w', markerfacecolor=color, markersize=8, label=f'({int(x)},\n'
44             f'{int(y)})' for (x, y), color in zip(points, plt.cm.rainbow(np.linspace(0, 1, len(points))))],
45             title='puntos', loc='upper right')
46 ax.add_artist(flegend)
47
48 plt.show()
```

splines.py

```
1 from os import name, system
2 from spine_rx import np, points, x, dfx as df, sympify, simplify, lambdify, plt, mping
3
4 def natural(points=points):
5
6     h, alpha = [0]*(len(points)), [0]*(len(points))
7     l, u, z = [0]*(len(points)+1), [0]*(len(points)+1), [0]*(len(points)+1)
8     a, b, c, d = [0]*(len(points)), [0]*(len(points)), [0]*(len(points)+1), [0]*(len(points))
9
10    h[1:] = [points[i][0]-points[i-1][0] for i in range(1, len(points))]
11    alpha[1: len(points)-1] = [3*((points[i+1][1]-points[i][1])/h[i+1]-(points[i][1]-points[i-1][1])/h[i])
12                               for i in range(1, len(points)-1)]
13
14    l[1], u[1], z[1] = 1, 0, 0
15    for i in range(2, len(points)):
16        l[i] = 2*(points[i][0]-points[i-2][0])-h[i-1]*u[i-1]
17        u[i] = h[i]/l[i]
18        z[i] = (alpha[i-1]-h[i-1]*z[i-1])/l[i]
19
20    c[len(points)] = 0
21    for i in range(len(points)-1, 0, -1):
22        c[i] = z[i]-u[i]*c[i+1]
23        b[i] = (points[i][1]-points[i-1][1])/h[i]-h[i]*(c[i+1]+2*c[i])/3
24        d[i] = (c[i+1]-c[i])/(3*h[i])
25        a[i] = points[i-1][1]
26
27    return [a[1:], b[1:], c[1: len(points)], d[1:]]
28
29 def sujeto(points=points, df=df):
30
31     h, alpha = [0]*(len(points)), [0]*(len(points))
32     l, u, z = [0]*(len(points)+1), [0]*(len(points)+1), [0]*(len(points)+1)
33     a, b, c, d = [0]*(len(points)), [0]*(len(points)), [0]*(len(points)+1), [0]*(len(points))
34
35     h = [0]+[points[i][0]-points[i-1][0] for i in range(1, len(points))]
36
37     alpha[0] = 3*((points[1][1]-points[0][1])/h[1]-df(points[0][0]))
38     alpha[len(points)-1] = 3*(df(points[len(points)-1][0])-(points[len(points)-1][1]-points[len(points)-2][1])/
39                               h[len(points)-1])
40
41     for i in range(1, len(points)-1):
42         alpha[i] = 3*((points[i+1][1]-points[i][1])/h[i+1]-(points[i][1]-points[i-1][1])/h[i])
43
44     l[1], u[1], z[1] = 2*h[1], 1/2, alpha[0]/2*h[1]
45     for i in range(2, len(points)):
46         l[i] = 2*(points[i][0]-points[i-2][0])-h[i-1]*u[i-1]
47         u[i] = h[i]/l[i]
48         z[i] = (alpha[i-1]-h[i-1]*z[i-1])/l[i]
49
50     c[len(points)] = (alpha[len(points)-1]-h[len(points)-1]*z[len(points)-1])/(h[len(points)-1]*
51                                         (2-u[len(points)-1]))
52     for i in range(len(points)-1, 0, -1):
53         c[i] = z[i]-u[i]*c[i+1]
54         b[i] = (points[i][1]-points[i-1][1])/h[i]-h[i]*(c[i+1]+2*c[i])/3
55         d[i] = (c[i+1]-c[i])/(3*h[i])
56         a[i] = points[i-1][1]
57
58     return [a[1:], b[1:], c[1: len(points)], d[1:]]
59
60 def splines(trazadores):
61
62     _, pt = plt.subplots()
63     pt.imshow(mping.imread(r'spine.jpg'), extent=[-210, 247, -94, 95], alpha=.8)
64
65     splinex = []
```



```

65 splinex = []
66
67 for i in range(1, len(trazadores[0])+1):
68     splinex.append(simplify(sympify(trazadores[0][i-1])+sympify(trazadores[1][i-1])*(x-sympify(points[i-1][0]))
69                         +sympify(trazadores[2][i-1])*(x-sympify(points[i-1][0]))**2+
70                         sympify(trazadores[3][i-1])*(x-sympify(points[i-1][0]))**3))
71
72 for i,(spline,color) in enumerate(zip(splinex,plt.cm.rainbow(np.linspace(0,1, len(splinex))))),start=1):
73     s = lambdify(x,spline,'numpy')
74     plt.plot(np.linspace(points[i-1][0],points[i][0],400),s(np.linspace(points[i-1][0],points[i][0],400)),
75             label=fr'$S_{\{i\}}$',color=color)
76
77 for (x_,y_),color in zip(points,plt.cm.rainbow(np.linspace(0,1, len(points)))):
78     plt.scatter(x_,y_,color=color,s=50)
79
80 plt.axhline(y=0,color='black',linewidth=1)
81 plt.axvline(x=0,color='black',linewidth=1)
82 plt.xlim(-210,247)
83 plt.ylim(-94,95)
84 plt.xlabel('x')
85 plt.ylabel(r'$S_{\{i\}}(x)$',rotation=0,labelpad=0)
86 plt.grid(True,linestyle='--',alpha=.5)
87 plt.title('trazadores cúbicos naturales' if (trazadores==natural()) else 'trazadores cúbicos sujetos'
88         if (trazadores==sujeto()) else 'trazadores cúbicos')
89 plt.legend()
90 plt.show()
91
92 while 1:
93
94     system('cls' if name == 'nt' else 'clear')
95
96     if(bool(int(input('1:natural,0:sujeto: ')))):
97         print('trazadores cúbicos naturales\n')
98         print(f'$S_{\{i\}}(x) = \{natural()[0][i-1]\}+\{natural()[1][i-1]\}(x-\{points[i-2][0]\})+$
99               $\{natural()[2][i-1]\}(x-\{points[i-2][0]\})^2+\{natural()[3][i-1]\}(x-\{points[i-2][0]\})^3$')
100         splines(natural())
101
102     else:
103         print('trazadores cúbicos sujetos\n')
104         for i in range(1,len(sujeto()[0])+1):
105             print(f'$S_{\{i\}}(x) = \{sujeto()[0][i-1]\}+\{sujeto()[1][i-1]\}(x-\{points[i-2][0]\})+$
106                   $\{sujeto()[2][i-1]\}(x-\{points[i-2][0]\})^2+\{sujeto()[3][i-1]\}(x-\{points[i-2][0]\})^3$')
107             splines(sujeto())
108
109     system('cls' if name == 'nt' else 'clear')
110
111     if(bool(int(input('1:salir,0:continuar: ')))):
112         system('cls' if name == 'nt' else 'clear')
113         break

```


Aplicaciones en la ingeniería biomédica.

Los splines se utilizan en ingeniería biomédica para modelar estructuras anatómicas, procesar imágenes médicas y analizar datos biomecánicos. Permiten representar curvas suaves en estudios de movimiento, reconstrucción 3D de órganos y ajuste de señales fisiológicas, mejorando la precisión en diagnósticos y tratamientos.

En el estudio de la escoliosis idiopática, la interpolación mediante trazadores cúbicos se emplea para modelar la curvatura de la columna vertebral a partir de puntos obtenidos en radiografías. Esto permite generar una representación matemática continua de la deformidad, facilitando su análisis y cuantificación mediante métodos como el ángulo de Cobb. Al utilizar trazadores cúbicos naturales y sujetos, se optimiza la precisión en la estimación del contorno vertebral, lo que contribuye a una mejor evaluación clínica y planificación del tratamiento, reduciendo la necesidad de exposiciones adicionales a radiación en pacientes pediátricos [5].

Bibliografía

- [1] Burden, R. y Douglas, J. (2002). *Análisis Numérico*. Ediciones Paraninfo.
Recuperado el 25 de marzo de 2025 de:
<https://evflores.files.wordpress.com/2014/02/analisis-numerico-richard-l-burden-7ma.pdf>
- [2] Chapra, S. y Canale, R. (2006). *Métodos numéricos para ingenieros*. McGraw Hill.
Recuperado el 25 de marzo de 2025 de:
<http://artemisa.unicauca.edu.co/~cardila/Chapra.pdf>
- [3] Mata, M. (2024). *Métodos numéricos*. Facultad de Ingeniería Mecánica y Eléctrica de la Universidad Autónoma de Nuevo León.
Recuperado el 5 de febrero de 2025 de:
<http://logistica.fime.uanl.mx/miguel/docs/MetNum.pdf>
- [4] Pessler, F.(2022). *Escoliosis idiopática*. Helmholtz Centre for Infection Research.
Recuperado el 26 de marzo de 2025 de:
<https://www.msmanuals.com/es/professional/pediatr%C3%ADa/trastornos-%C3%B3seos-en-ni%C3%B1os/escoliosis-idiop%C3%A1tica>
- [5] Ernst, C., Buls, N., Laumen, A. y Gompel, G. (2018). *Lowered dose full-spine radiography in pediatric patients with idiopathic scoliosis*. European Spine Journal.
Recuperado el 26 de marzo de 2025 de:
<https://link.springer.com/article/10.1007/s00586-018-5561-9>